

# 海洋对风暴响应的动力热力学分析\*

张 淮 水

(青岛海洋大学物理海洋研究所)

## 摘 要

本文旨在讨论风暴影响下海气相互作用所造成的海洋响应问题。首先,说明适于描述问题的扰动微分方程组,主要给定两种机制的相互作用函数作为定解条件。其次采用特定的变量变换和变幂级数解法,对非线性扩散方程组求解。最后对圆形强风暴的响应扰动作计算,从而对海洋响应的发展过程作定量描述。

海洋在瞬变风场的激发下可能生成水平和铅直流动。这种局部流的形成与发展,主要决定于风场所诱致的海气边界过程。风场诱发海洋扰动的物理过程可能有二。一是水平风速的铅直切变在海气边界造成铅直动量通量;另一是依赖于海面风的感热和潜热的铅直热通量。描述这种海洋响应是复杂的,迄今多半考虑前者。例如对两层海洋的响应研究,Longuet Higgins<sup>[6]</sup>以风应力旋度为脉冲讨论海洋的强迫行星波, Geister<sup>[8]</sup>, Price<sup>[9]</sup>以及 Gill<sup>[4]</sup>研究不同移速风暴的海洋惯性重力波和尾流,而O'Brien和Reid<sup>[10]</sup>则把旋转风场作为初值,通过数值计算研讨两层海洋的非线性响应。所有这些研究均未考虑海气热交换的效应,而对海洋扰动的发展进程似乎尚未明确说明。因此,我们试讨论成层海洋在旋转风场的笼罩下,通过求解非线性扩散方程组,以揭示这种海洋响应的发展图像。

## 一、方程组和定解

海洋在旋转风场的控制下产生扰动。假定海洋原处于静止状态。海温的铅直分布为 $\theta_0(z)$ ,而盐度不变。如果扰动的水平尺度比铅直尺度大得多,则铅直加速甚小。这样可以应用“长波近似”,扰动的静力平衡关系充分成立。海水一般是不可压缩的。在风的影响下,海洋上层发生铅直方向的湍混合。如此,我们可采用圆柱坐标系,讨论轴对称的响应扰动。其运动方程、热流方程和连续方程如下:

$$\left. \begin{aligned} \frac{\partial u}{\partial t} + u \frac{\partial u}{\partial r} + w \frac{\partial u}{\partial z} - \frac{v^2}{r} - f v - \frac{a g}{\rho_0} \frac{\partial}{\partial r} \int_{\infty}^z \theta dz &= k \frac{\partial^2 u}{\partial z^2}, \\ \frac{\partial v}{\partial t} + u \frac{\partial v}{\partial r} + w \frac{\partial v}{\partial z} + \frac{uv}{r} + f u &= k \frac{\partial^2 v}{\partial z^2}, \end{aligned} \right\} \quad (1)$$

本文于1987年7月25日收到,修改稿于1988年8月30日收到。

\* 国家自然科学基金资助项目。

$$\left. \begin{aligned} \frac{\partial \theta}{\partial t} + u \frac{\partial \theta}{\partial r} + w \left( \frac{\partial \theta}{\partial z} - \Gamma \right) &= k_{\theta} \frac{\partial^2 \theta}{\partial z^2}, \\ \frac{\partial u}{\partial r} + \frac{u}{r} + \frac{\partial w}{\partial z} &= 0. \end{aligned} \right\}$$

式中,  $r$  是径向坐标,  $z$  是海水深度,  $t$  是时间,  $u$ 、 $v$  和  $w$  分别是径向、切向和轴向的扰动分速,  $\theta$  是扰动温度,  $g$  是重力加速度,  $f$  是柯氏参数,  $k$  和  $k_{\theta}$  分别是湍粘系数和导热系数,  $\rho_0$  是当盐度为 35 且海温为  $0^{\circ}\text{C}$  时的海水密度,  $\rho_0 = 1.028 \times 10^3 \text{ kg/m}^3$ . 以上方程组中已经应用过扰动的静力学方程,  $dp = \rho g dz$ ,  $p$  是扰动压,  $\rho$  是扰动密度; 也应用过海水状态方程的扰动近似式,  $\rho = -\alpha\theta$ ,  $\alpha$  是上述盐度时的热胀系数  $\alpha = 0.07 \text{ kg/m}^3 \cdot \text{deg}$ .  $\Gamma$  是未扰海温铅直梯度,  $\Gamma = -\partial\theta_0/\partial z$ , 可取  $\Gamma = 0.1 \text{ deg/m}$ . 因此, 初始和上下底边界条件给定为

$$u = v = w = \theta = 0, \quad (t = 0)$$

$$\left. \begin{aligned} \frac{\partial u}{\partial z} = w &= 0, \\ \frac{\partial v}{\partial z} &= Q_0 \varphi(r, t), \\ \frac{\partial \theta}{\partial z} &= I_0 \psi(r, t). \end{aligned} \right\} \quad (z = 0) \quad (2)$$

$$u = v = w = \theta = 0. \quad (z \rightarrow \infty)$$

式中,  $\theta_0$  和  $I_0$  是已知常数,  $\varphi$  和  $\psi$  是待定的海气相互作用函数.

为讨论方便起见, 我们把上列各式改为无量纲形式, 并引进新变量如下:

$$t = T t^*, \quad r = L r^*, \quad z = H z^*$$

$$\theta = \Delta \theta^*, \quad (u, v) = V(u^*, v^*), \quad w = W w^* \quad (3)$$

这里所有大写字母分别代表其对应量的特征值,  $\Delta \theta$  代表扰动温度的特征值. 星号指相应的无量纲量. 将式 (3) 代入式 (1)、(2) 则有

$$A \frac{\partial u^*}{\partial t^*} + u^* \frac{\partial u^*}{\partial r^*} + w^* \frac{\partial u^*}{\partial z^*} - \frac{v^{*2}}{r^*} - F v^* - G \frac{\partial}{\partial r^*} \int_0^{z^*} \theta^* dz^* = \frac{1}{R} \frac{\partial^2 u^*}{\partial z^{*2}},$$

$$A \frac{\partial v^*}{\partial t^*} + u^* \frac{\partial v^*}{\partial r^*} + w^* \frac{\partial v^*}{\partial z^*} + \frac{u^* v^*}{r^*} + F u^* = \frac{1}{R} \frac{\partial^2 v^*}{\partial z^{*2}},$$

$$A \frac{\partial \theta^*}{\partial t^*} + u^* \frac{\partial \theta^*}{\partial r^*} + w^* \left( \frac{\partial \theta^*}{\partial z^*} - B \right) = \frac{1}{R} \frac{\partial^2 \theta^*}{\partial z^{*2}}, \quad (Pr = k/k_{\theta} - 1), \quad (4)$$

$$\frac{\partial u^*}{\partial r^*} + \frac{u^*}{r^*} + \frac{\partial w^*}{\partial z^*} = 0.$$

$$\begin{aligned}
 u^* = v^* = w^* = \theta^* = 0 \quad (r^* = 0), \\
 \left. \begin{aligned}
 \frac{\partial u^*}{\partial z^*} = w^* = 0 \\
 \frac{\partial v^*}{\partial z^*} = Q^* \varphi(r^*, t^*) \\
 \frac{\partial \theta^*}{\partial z^*} = I^* \psi(r^*, t^*)
 \end{aligned} \right\} (z^* = 0), \\
 u^* = v^* = w^* = \theta^* = 0 \quad (z^* \rightarrow \infty).
 \end{aligned} \tag{5}$$

式中, 各无量纲组合为

$$\begin{aligned}
 A = \frac{L}{TV}, \quad F = \frac{fL}{V}, \quad G = \frac{agH\Delta\theta}{\rho_0 V^2}, \\
 R = \frac{VH^2}{kL}, \quad B = \frac{\Gamma W}{\Delta\theta} = \frac{\Gamma V H}{\Delta\theta L}, \\
 Q^* = \frac{H}{V} Q_0, \quad I^* = \frac{H}{\Delta\theta} I_0.
 \end{aligned} \tag{6}$$

上列非线性扩散方程组构成因变量  $u^*$ ,  $v^*$ ,  $w^*$  和  $\theta^*$  的封闭方程组, 因此在上述初始、边界等条件下可以定解。

## 二、海气相互作用函数

为决定海气相互作用函数  $\varphi$  和  $\psi$ , 我们仅讨论圆形风暴下的性态。首先说明海气分界处的湍动量通量。假定圆形风暴的径向风速近似为零, 而逆时针旋转的切向风速  $v_a$  表示如下:

$$v_a = v_M(r/r_M) e^{-(r/r_M)^2}.$$

式中,  $v_M$  是风暴的最大风速,  $r$  和  $r_M$  分别是风速  $v_a$  和最大风速  $v_M$  的径距。海面湍动量通量, 即海面风应力,  $\tau_a = \rho_a C_d v_a^2$ , 它可以写成

$$\tau_a = \tau_0 (r/r_M)^2 e^{-2r/r_M}$$

此处  $\tau_a = \rho_a C_d (e v_M)^2$ ,  $\rho_a$  是空气密度,  $\rho_a = 1.26 \text{ kg} \cdot \text{m}^{-3}$ ,  $C_d$  是海面阻滞系数,  $C_d = 2.3 \times 10^{-3}$ 。海面  $z = 0$  处应力是连续的, 故此地的流应力  $\rho_0 k \partial v_i / \partial z$  与风应力  $\tau_a$  相等。如果考虑风暴作用的持续时间因子, 则海面应力的连续条件为

$$\frac{\partial v}{\partial z} = \frac{\tau_0}{\rho_0 k} (r/r_M)^2 e^{-2r/r_M} \sin \frac{\pi}{T_s} t, \quad (z = 0, t = T_s) \tag{7}$$

式中,  $T_s$  是风暴持续作用时间,  $T_s = 2r_M/V_s$ , 其中  $V_s$  是风暴的移行速,  $2r_M$  是风暴的最大风速的直径。

至于海气间的热交换, 基于海面扰动的热平衡条件: 海面向下热通量与海面向上感热

和潜热通量之和相平衡。这里未考虑净辐射。因讨论风暴效应，辐射与风速无直接联系。考虑风暴作用的时间因子，我们可把海面热平衡条件写成

$$\frac{\partial \theta}{\partial z} = \frac{\rho_a C_{pa} C_d}{\rho_0 C k} \left(1 + \frac{1}{B_o}\right) \Delta \theta_a v_M (r/r_M) e^{-(r-r_M)/r_M} \sin\left(\frac{\pi}{T_s} t\right) \quad (z=0, t \in T_s, pr=1) \quad (8)$$

式中  $C$  和  $C_{pa}$  分别是海和气的定压比热， $C_{pa}/C=0.25$ 。  $\Delta \theta_a$  是海气温差，气温减海温。  $B_o$  是 Bowen 数，根据张淮水等<sup>[7]</sup>，取  $B_o = -0.08$ 。

如果将式 (7)，(8) 与式 (2) 的对应式相比较，则得到

$$\left. \begin{aligned} Q_0 &= \tau_0 / (\rho_0 k), \quad \varphi(r, t) = (r/r_M)^2 e^{-2(r-r_M)/r_M} \sin\left(\frac{\pi}{T_s} t\right), \\ I_0 &= \frac{\rho_a C_{pa} C_d}{\rho_0 C k} \left(1 + \frac{1}{B_o}\right) \Delta \theta_a v_M, \quad \psi(r, t) = (r/r_M) e^{-(r-r_M)/r_M} \sin\left(\frac{\pi}{T_s} t\right) \end{aligned} \right\} (9)$$

上式可以写成无量纲形式

$$\left. \begin{aligned} Q^* &= \frac{H}{V} Q_0, \quad \varphi(r^*, t^*) = (L/r_M)^2 r^{*2} e^{-(2L/r_M)r^*} \sin\left(\frac{\pi T}{T_s} t^*\right), \\ I^* &= \frac{H}{\Delta \Theta} I_0, \quad \psi(r^*, t^*) = (L/r_M) r^* e^{-(L/r_M)r^*} \sin\left(\frac{\pi T}{T_s} t^*\right) \end{aligned} \right\} (10)$$

### 三、问题的基本解式

为便于求解上述无量纲形式的非线性扩散方程，我们类似于 Баев<sup>[1]</sup> 采用的变换，引进新变量

$$s = \sqrt{\frac{AR}{2\tau}} z^*, \quad \tau = \sqrt{t^*},$$

同时寻求如下形式的幂级数解：

$$\left. \begin{aligned} \theta^* &= \sum_{n=0}^{\infty} \theta_n \tau^{n+1/4}, \quad u^* = \sum_{n=0}^{\infty} u_n \tau^{n+1/4}, \\ v^* &= \sum_{n=0}^{\infty} v_n \tau^{n+1/4}, \quad w^* = \frac{2}{\sqrt{AR}} \sum_{n=0}^{\infty} w_n \tau^{n+5/4} \end{aligned} \right\} (11)$$

式中  $\theta_n, u_n, v_n$  和  $w_n$  则由下列方程组，以及初、边条件来确定。

$$\left. \begin{aligned} A_{n-1}(\theta_n) &= -\frac{8B}{A\sqrt{AR}} w_{n-6} + \frac{4}{A} \sum_{k=0}^{n-6} \left( u_k \frac{\partial \theta_{n-6-k}}{\partial r^*} + w_k \frac{\partial \theta_{n-6-k}}{\partial s} \right), \\ A_{n-4}(u_n) &= -\frac{8G}{A\sqrt{AR}} \frac{\partial}{\partial r^*} \int \theta_n ds - \frac{4F}{A} u_{n-2} \\ &\quad + \frac{4}{A} \sum_{k=0}^{n-6} \left( u_k \frac{\partial u_{n-6-k}}{\partial r^*} + w_k \frac{\partial u_{n-6-k}}{\partial s} - v_k \frac{v_{n-6-k}}{r^*} \right), \end{aligned} \right\} (12)$$

$$A_{n+4}(v_n) = \frac{4F}{A} u_{n-2} + \frac{4}{A} \sum_{k=0}^{n-6} \left( u_k \frac{\partial v_{n-6-k}}{\partial r^*} + w_k \frac{\partial u_{n-6-k}}{\partial s} + v_k \frac{u_{n-6-k}}{r^*} \right),$$

$$w_n = - \left( \frac{\partial}{\partial r^*} + \frac{1}{r^*} \right) \int_0^s u_n ds.$$

式中算符  $A_m(y) = \frac{d^2 y}{ds^2} + 2s \frac{dy}{ds} - 2m y$ , 相应的初、边条件为

$$\left. \begin{aligned} \theta_n = u_n = v_n = w_n = 0, & \quad (\tau = 0); \\ \frac{\partial \theta_n}{\partial s} = \psi_n, \quad \frac{\partial u_n}{\partial s} = 0, & \quad (s = 0); \\ \frac{\partial v_n}{\partial s} = \varphi_n, \quad w_n = 0, & \quad (s = 0); \\ \theta_n = u_n = v_n = w_n = 0, & \quad (s \rightarrow \infty). \end{aligned} \right\} \quad (13)$$

式中

$$\psi_n = (-1)^{\frac{n-2}{2}} \frac{2 \left( \frac{T}{T_s} \pi \right)^{\frac{n}{2}}}{\sqrt{AR} \left( \frac{n}{2} \right)!} I^* \psi(r^*),$$

$$\varphi_n = (-1)^{\frac{n+1}{2}} \frac{2 \left( \frac{T}{T_s} \pi \right)^{\frac{n+3}{2}}}{\sqrt{AR} \left( \frac{n+3}{2} \right)!} Q^* \varphi(r^*),$$
(14)

此处负号的幂次取正整数。

上述方程组 (11) 仅对变量  $s$  来说是为常微分方程式。当  $n \leq 6$  时各式是线性的, 当  $n > 6$  时则为非线性。但非线性项可以用  $n \leq 6$  的解表示, 故所有  $n$  阶方程都变成线性的。这就便于求解。

众所周知, 齐次方程  $A_m(y) = 0$  满足边界条件  $y_{s=0} = 1$  和  $y_{s \rightarrow \infty} = 0$  的解为  $L_m(s)$ ; 巢纪平<sup>[2, 3]</sup> 给出满足边界条件  $y_{s=0} = f(r^*)$  和  $y_{s \rightarrow \infty} = 0$  的解为  $f(r^*) L_m(s)$ ; 我们不难给定满足  $(dy/ds)_{s=0} = f(r^*)$  和  $y_{s \rightarrow \infty} = 0$  的解为

$$y = \frac{A_{m-1}}{A_m} f(r^*) L_m(s). \quad (15)$$

对于非齐次方程  $A_m(y) = \sum_k a_k L_k + \sum_{i,j} b_{ij} L_i L_j$ , 其中  $a_k$  和  $b_{ij}$  与  $s$  无关, 该式满足边界条件  $(dy/ds)_{s=0} = f(r^*)$  和  $y_{s \rightarrow \infty} = 0$  的解为

$$y = \frac{A_{m-1}}{A_m} f(r^*) L_m + \sum_k \frac{a_k}{2(k-m)} \left( L_k - \frac{A_k A_{m-1}}{A_{k-1} A_m} L_m \right)$$

$$+ \sum_{i,j} \frac{b_{i,j}}{2} \left\{ \frac{A_i A_j}{A_{i+1} A_{j+1}} L_{i+1} L_{j+1} + \sum_{k=2}^l 2^{k-1} (l-1) \cdots (l-k+1) \frac{A_i A_j}{A_{i+k} A_{j+k}} L_{i+k} L_{j+k} \right.$$

$$\left. - \left( \frac{A_i}{A_{i+1}} + \frac{A_j}{A_{j+1}} \right) \frac{A_{m-1}}{A_m} L_m - \sum_{k=2}^l 2^{k-1} (l-1) \cdots (l-k+1) \left( \frac{A_i A_j}{A_{i+k-1} A_{j+k-1}} + \frac{A_i A_j}{A_{i+k} A_{j+k}} \right) L_m \right\} \quad (16)$$

式中  $2l = m - (i + j)$ ,  $l = 1$ .

根据上列基本解, 我们就容易求得本题的任何  $\theta_n$ ,  $u_n$ ,  $v_n$  和  $w_n$ .

#### 四、计算和分析

我们的目的在于了解海洋响应发展时的具体形象. 为说明方便, 假定风场为圆形强风暴, 其持续时间  $T_s = 2T_M / V_s$ , 参看文献 [6]. 这里  $V_s$  是风暴移行速度. 若取  $V_s = 20 \text{ km/h}$  和  $r_m = 50 \text{ km}$ , 则  $T_s = 5 \text{ h}$ . 在中纬度  $f = \omega / 2\pi$ ,  $\omega = 7.29 \times 10^{-5} \text{ rad/s}$ . 而海洋响应扰动的特征值以及各参数值可如下选取:

$$\begin{aligned} T &= 8.6 \cdot 10^4 \text{ s}, & L &= 1 \cdot 10^5 \text{ m}, \\ H &= 100 \text{ m}, & V &= 1 \text{ m/s}, \\ k &= 0.1 \text{ m}^2/\text{s}, & \Delta\theta_a &= 1 \text{ deg}, \\ \Delta\theta_a &= 10 \text{ 度}, & B_0 &= 0.08. \end{aligned}$$

这相当于无量纲组合值为:

$$\begin{aligned} A &= 1.16, & F &= \frac{\omega L}{2\pi V} = 1.16, \\ G &= 0.67, & R &= 1, \\ B &= 1 \times 10^{-4}, & Q^* &= 3.31, \\ I^* &= 1.02. \end{aligned}$$

应该指出, 我们取特征时间  $T$  为 23.9h, 它与风暴持续时间  $T_s$  完全不同.  $k$  的取值为风暴潮计算中常用.  $B_0$  值在夏季中纬海洋多半如此<sup>[1]</sup>.  $\Delta\theta_a$  似乎较大, 但在沿岸海域是可能出现的. 此外, 在计算过程中因  $B$  值很小, 方程中含  $B$  值的项可以略掉. 又因为考虑初始响应的发展取  $t^* = 0.5$ , 故级数解式 (11) 收敛极快, 当计算到  $n = 9$  时, 其结果即可反映本问题的实质. 现在将计算结果简述如下.

扰动温度, 在无量纲径距  $r^* = 0.5$  处, 即  $r = 50 \text{ km}$ , 变动最明显, 如图 1 虚线所示. 当  $\tau = 0.2$  时, 相当于  $t = 0.96 \text{ h}$ , 在海面  $s = 0$  处, 扰动温度  $\theta^* = -0.18$ , 即下降  $0.18^\circ\text{C}$ ; 在  $s = 0.5$  处, 折合深度为  $27 \text{ m}$ ,  $\theta^* = -0.03$ ; 在  $s = 1.0$  处, 即深  $54 \text{ m}$ ,  $\theta^* = 0$ . 当  $\tau = 0.4$  时,  $t = 3.82 \text{ h}$ ;  $s = 0$  处  $\theta^* = -0.60$ ; 在  $s = 0.5$  处, 深  $53.9 \text{ m}$ ,  $\theta^* = -0.25$ ;  $s = 1.0$  处深  $107.9 \text{ m}$ ,  $\theta^* = 0$ . 当  $\tau = 0.6$  时,  $t = 8.60 \text{ h}$ ,  $s = 0$  处  $\theta^* = -0.81$ ;  $s = 0.5$  处深  $80.9 \text{ m}$ ,  $\theta^* = -0.41$ . 此外, 由  $r^* = 0.5$  处向中心或外沿, 扰动温度的绝对值均变小, 至  $r^* = 0$  或  $r^* = 2.5$  处,  $\theta^* = 0$ .

扰动径向分速, 如图 1 所示. 在风暴控制无量纲时间  $\tau = 0.2$  时, 径向分速几乎不出现; 而在  $\tau = 0.4$  时, 在  $r^* = 0.5$  内, 海表和中层有较弱的外流; 到了  $\tau = 0.6$  时外流最大值在中层为  $u^* = 0.96$ , 即  $0.96 \text{ m/s}$ . 而表层稍小,  $u^* = 0.68$ , 在底层最大值仅为  $u^* = 0.06$ ; 当  $\tau = 0.6$  时, 在  $r^* = 0.5 - 2.5$  的范围内, 表层和底层有较小的内流, 且中层值大于表层值. 例如  $s = 0.5$  处  $u^* = -0.21$ . 而  $s = 0$  处,  $u^* = -0.13$ ; 表层无内流.

扰动切向分速亦如图 1 所示, 在风暴控制开始时很弱, 只有到  $\tau = 0.6$  时比较明显.  $v^*$  的最大值出现在表层,  $s = 0$  处最大值为  $v^* = 0.94$ ,  $v^*$  值在  $r^* = 0 - 1.7$  之间均为正值.

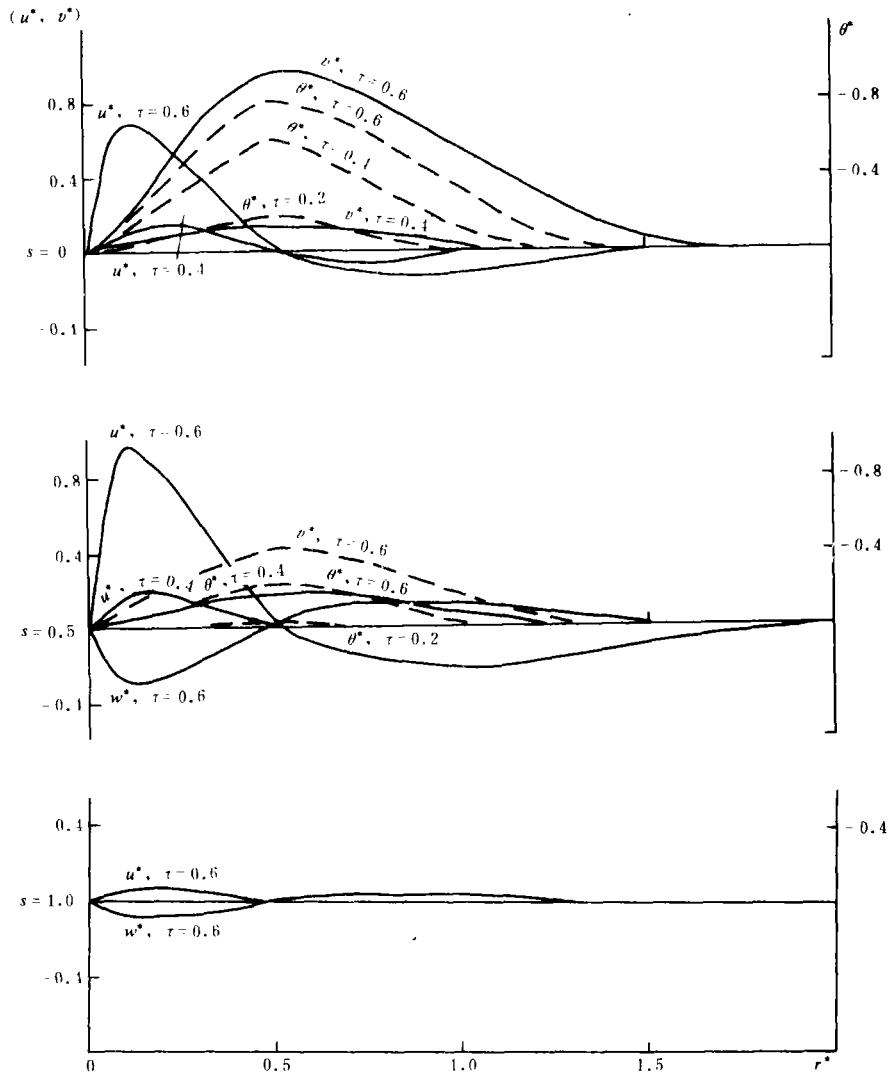


图 1 水平和铅直扰动流速以及扰动温度分布

底层切向分速为零。

扰动铅直分速如图 1 所示。在风暴开始控制时无表现。但到了  $\tau = 0.6$  时，主要存在于中层。例如  $r^* = 0.5, w^* > 0$  为上升流区；而  $r^* = 0.5, w^* < 0$  为较小的下降流区。在底层铅直分速都很小。

## 五、小 结

综观以上分析，在强风暴控制下，海洋响应除海浪外均为风暴所主宰。在扰动中心，扰动温度和流速均为零，这对应于风暴中心的平静区。在风暴的涡旋区下，海洋扰动迅速

发展, 从而形成与风暴涡旋相一致的、逆时针旋转的辐散上升流区. 表层有较大的逆时针旋转水平分速, 中层有较大的上升流速, 在此辐散区的外围是较弱而宽阔的相反流区, 该区呈顺时针旋转的辐合区, 中层下降流较大.

此外, 从分析计算的过程中可以说明, 径向流主要决定于海气热交换的结果, 即扰动温度的水平分布. 而铅直分速则依赖于径向流速. 切向流主要随风应力和柯氏力而变化.

### 参 考 文 献

- [1] Б а е в , В . К . , Н е с т а ц и о н а р н ы е к о н в е к т и в н ы е т е ч е н и я р у д ы Ц И П В В И П . . 43 (7) . 1956.
- [2] 巢纪平, 层结大气中热对流发展的一个非线性分析, 气象学报, 31 (1961), 3: 191—204.
- [3] 巢纪平, 积云动力学, 科学出版社, 1964.
- [4] Gill, A. E., *Atmosphere Ocean Dynamics*, Academic Press, 1982.
- [5] Kraus, E. B., *Atmosphere-Ocean Interaction*, Oxford Univ. Press, 1972.
- [6] Longuet Higgins, M. S., The response of a stratified ocean to stationary and moving wind systems, *Deep sea Res.*, 12 (1965), 923—973.
- [7] 张淮水等, Bowen 数和东中国海 Bowen 数分布, 青岛海洋大学学报, 18 (1988), 1: 15—22.
- [8] Geister, J. E., Linear theory of the response of a two layer ocean to a moving hurricane, *Geophys Fluid Dyn.* 1 (1970), 249—272.
- [9] Price, J. F., Upper ocean response to a hurricane, *J. Phys. Oceanogr.*, 11 (1981), 153—175.
- [10] O'Brien, J. J. and R. O. Reid, The non linear response of a two layer, baroclinic ocean to a stationary, axially symmetric hurricane, *J. Atmos. Sci.*, 24 (1967), 197—207.